

**FACULTATEA DE CONSTRUCȚII**  
**DEPARTAMENTUL DE CONSTRUCȚII METALICE ȘI MECANICA CONSTRUCȚIILOR**  
Str. Ioan Curea nr.1, 300224, Timișoara, ROMÂNIA  
tel. 0256/403911; fax 0256/403917

**Titlu proiect: Validarea experimentală a răspunsului unei clădiri în cadre supusă acțiunii exploziilor (FRAMEBLAST)**

Denumirea Programului din PN III: Programul 2 - Creșterea competitivității economiei românești prin cercetare, dezvoltare și inovare

Tip proiect: Proiect experimental - demonstrativ

Nr. contract: 39PED / 2017

Nr. proiect: PN-III-P2-2.1-PED-2016-0962

**Raport etapa 2/finala 2018**

Denumire etapa: Etapa 2: Validarea in condiții de laborator a comportării unei clădiri la scara reala supusa la explozii interne si externe (TRL4)

Activități:

- Activitatea 2.1: Încercări experimentale pe clădirea la scara reala la acțiunea exploziilor externe
- Activitatea 2.2: Validarea si precalificarea in condiții de laborator a comportării unei clădiri la scara reala supusa la explozii interne si externe (TRL4)
- Activitatea 2.3: Identificarea modificărilor structurale si descrierea avariilor structurale/nestructurale cauzate de explozii interne si externe
- Activitatea 2.4: Workshop FRAMEBLAST si diseminare

Rezultate obținute:

- Raport tehnic privind validarea numerică a rezultatelor încercărilor la explozie pe o clădire la scara reală
- Recomandări privind evaluarea încărcării din explozie
- Recomandări privind evaluarea răspunsului structurilor in cadre supuse încărcărilor din explozie
- Modele numerice validate pe baza rezultatelor experimentale
- Evaluare, coordonare si diseminare

Timisoara, iunie 2018

## Cuprins:

Rezumatul etapei.....	3
1 Activitatea 2.1: Încercări experimentale pe clădirea la scara reală la acțiunea exploziilor externe .....	4
1.1. Introducere .....	4
1.2. Instrumentarea structurii pentru teste la explozie externă .....	4
1.2.1. Timbre tensometrice.....	4
1.2.2. Accelerometre.....	5
1.2.3. Senzori de presiune.....	5
1.2.4. Masuratori cu statia totala.....	6
1.2.5. Înregistrari video cu camere de mare viteza.....	7
1.3. Protocolul de incarcare .....	7
2 Activitatea 2.2: Validarea și precalificarea în condiții de laborator a comportării unei clădiri la scara reală supusă la explozii interne și externe (TRL4).....	8
2.1 Rezultate experimentale .....	8
2.2 Validări numerice.....	11
3 Activitatea 2.3: Identificarea modificărilor structurale și descrierea avariilor structurale/nestructurale cauzate de explozii interne și externe .....	13
4 Activitatea 2.4: Diseminarea rezultatelor cercetărilor.....	15
Bibliografie.....	17

## **Rezumatul etapei**

Etapa 2/2018 a proiectului a cuprins patru activitati activitatii principale si anume:

- Activitatea 2.1: Încercări experimentale pe clădirea la scara reală la acțiunea exploziilor externe
- Activitatea 2.2: Validarea și precategorizarea în condiții de laborator a comportării unei clădiri la scara reală supusă la explozii interne și externe (TRL4)
- Activitatea 2.3: Identificarea modificărilor structurale și descrierea avariilor structurale/nestructurale cauzate de explozii interne și externe
- Activitatea 2.4: Workshop FRAMEBLAST și diseminare

În cadrul activității 2.1 au fost realizate teste experimentale la explozie pe modelul fabricat și montat în etapa 1/2017. Încărcările explosive de diverse mase au fost plasate în diferite poziții față de structura și la diferite înălțimi până la cedarea completă a unui element structural principal (stalp). Instrumentarea a inclus senzori de presiune, accelerometre, timbre tensometrice și camere video de mare precizie. După fiecare serie de teste s-au facut de asemenea măsurători de vibrații, măsurători de deplasări folosind statii totale. Înainte de testare, structura a fost încarcată cu sarcini gravitaționale la ambele nivele.

Activitatea 2.2 a cuprins prelucrarea datelor experimentale obținute în cadrul activității 2.1 și calibrarea răspunsului modelului experimental global pe baza datelor experimentale. Calibrările au avut în vedere parametrii de răspuns structural local (deformatii specifice, rotiri) și global (deplasări verticale și laterale, moduri de vibrație) și de asemenea corectarea legii de presiune din explozie în diferite puncte de pe structura și la diferite secvențe de timp.

În cadrul activității 2.3 au fost identificate modificările la nivel structural după fiecare explozie folosindu-se rezultatele experimentale obținute (deformatii specifice, deplasări). Aceste modificări au fost corelate cu modificările proprietăților dinamice ale structurii. Prin asocierea schimbărilor la nivelul frecvențelor și a modurilor proprii de nivelul de degradare s-a putut evalua starea de degradare produsa de presiunea eliberata de explozie.

Activitatea 2.4 a cuprins activități de management, coordonare și diseminare la nivelul proiectului. Planificarea și coordonarea activităților au tinut cont de contribuțiile specifice ale partenerilor și de cele generale ale proiectului. Au avut loc mai multe întâlniri de lucru care au fost desfășurate atât la poligonul de incarcări de la Insemex cât și la UPT. Au fost utilizate de asemenea platforme media pentru videoconferințe și transferul de informații între parteneri.

Promovarea proiectului FRAMEBLAST și diseminarea rezultatelor cercetărilor au fost permanent avute în vedere. Astfel, au fost pregătite și publicate lucrări științifice la conferințe și în reviste, au fost făcute prezentări orale în cadrul unor manifestări științifice și au fost prezentate rapoarte tehnice în cadrul unor comitete tehnice ale asociațiilor profesionale. Rezultatele au fost de asemenea folosite la lansarea unor proiecte de cercetare naționale și internaționale și ca suport pentru lucrări de dizertare și doctorat. A fost organizat de asemenea un Workshop în care au fost prezentate rezultatele analizelor numerice, instrumentarea structurii pentru testarea in situ și teste la explozii externe. A fost de asemenea actualizată pagina web a proiectului.

## 1 Activitatea 2.1: Încercări experimentale pe clădirea la scara reală la acțiunea exploziilor externe

### 1.1. Introducere

Modelul experimental este o structură în cadre din oțel cu două deschideri de câte 4.5 m, două travei de câte 3.0 m și două etaje de câte 2.5 m. Stâlpii sunt realizati din profile HEB 260, iar grinzi transversale din profile IPE 270. Grinzi secundare sunt realizate din profile IPE 200 (grinda secundara intre stalpi) si profile IPE 180 (grinda secundara curenta). Materialul din elemente este S275. Pe direcție transversală, grinzi sunt prinse rigid de stâlpi cu șuruburi M24 gr.10.9 și plăci de capăt de grosime 16 mm. Pe direcție longitudinală, sunt dispuse contravântuirile verticale din țeavă. Grinzi longitudinale și cele secundare sunt prinse articulat de stâlpi, respectiv de grinzi principale. Stâlpii sunt prinși rigid la bază. Structura a fost proiectată pentru situațiile de proiectare permanentă și seismică (seismicitate redusă, valoarea accelerării orizontale a terenului 0.10 g). Structura a fost încercată la efectul unor explozii produse de încărcături amplasate la diferite distanțe față de stâlpul perimetral central. Explosiile de diferite intensități au fost proiectate să producă avarii locale în stâlpi și deformații plastice în grinzi adiacente după redistribuirea eforturilor, însă fără cedarea globală a structurii. Pentru analizele preliminare s-a folosit programul ELS și modelul numeric validat pe baza rezultatelor obținute în proiectul CODEC.

### 1.2. Instrumentarea structurii pentru teste la explozie externă

Modelul experimental este o structură în cadre din oțel cu două deschideri de câte 4.5 m, două travei de câte 3.0 m și două etaje de câte 2.5 m. Pentru a se obține informații referitoare la presiunea degajată de explozie și efectele ei asupra elementelor structurii, au fost folosite mai multe sisteme de măsurare. În continuare se prezintă în detaliu aceste sisteme și modul lor de lucru

#### 1.2.1. Timbre tensometrice

Timbrele tensometrice au fost dispuse pe elementele suprastructurii metalice și pe grinzi de fundare. În structura metalică acestea au fost dispuse pe stâlpi (talpa și inima), grinzi (talpa, inima) și placă de capăt a imbinării grinda stâlp (Fig. 1). Acestea sunt folosite pentru măsurarea deformațiilor specifice din elemente dar citirile pot fi utilizate și la determinarea forțelor și momentelor din elemente.



Fig. 1 Dispunerea timrelor tensometrice pe stâlpi (stanga) grinzi (mijloc) și placi de capăt (dreapta)

### **1.2.2. Accelerometre**

Accelerometrele au fost dispuse la nivelul nodurilor de la etajul 1 si 2, in cadrele marginale si intermediare. Ele sunt folosite pentru determinarea frecventelor proprii in structura inainte si dupa producerea unei explozii. Modificarea caracteristicilor dinamice ale structurii indica prezența unor posibile degradari structurale (Fig. 1). Pentru măsurători a fost utilizată tehnica experimentală Brüel & Kjær, folosind ca sursa de excitare un ciocan cu senzor de forță de tip 8208 (forță maxima 35584 N).



Fig. 2 Montarea accelerometrelor pe structura metalică (stanga) și sursa de excitare - ciocan cu senzor de forță de tip 8208

### **1.2.3. Senzori de presiune**

Folosirea senzorilor permite determinarea variației în timp a presiunii în diferite puncte și de asemenea variația presiunii cu distanța față de sursa încărcătură explozivă. Pentru determinarea presiunii produse de explozie, au fost utilizati senzori de presiune dispusi în patru puncte diferite din apropierea structurii. S-au utilizat două sisteme KISTLER de măsurare a presiunii de explozie, astfel că pe senzorii tip baionetă s-au amplasat senzorii cilindrici, ambele sisteme folosind senzori de tip IEPE și amplificatoare LabAmp tip 5165A4. Datele de intrare au fost urmatoarele:

- distanța dintre încărcătura explozivă și stâlpul median - parter: 0,5 m;
- înălțimea față de sol a încărcăturii explozive: 1,8 m (1,5 m față de grinzi de fundare);
- distanța dintre primul senzor de presiune (senzor 1) și încărcătura explozivă: 2 m, senzor amplasat pe direcție perpendiculară pe structura metalică, colinar cu stâlpul median și încărcătura explozivă;
- distanța dintre al doilea senzor de presiune (senzor 2) și încărcătura explozivă: 4,5 m, senzor amplasat longitudinal cu structura metalică, pe direcție paralelă, dar colinar cu încărcătura explozivă;
- distanța dintre al treilea senzor de presiune (senzor 3) și încărcătura explozivă: 9 m, senzor amplasat longitudinal cu structura metalică, pe direcție paralelă, dar colinar cu încărcătura explozivă și senzorul 2;
- distanța dintre al patrulea senzor de presiune (sensor 4) și încărcătura explozivă: 13,5 m, senzor amplasat longitudinal cu structura metalică, pe direcție paralelă, dar colinar cu încărcătura explozivă și senzorii 2 și 3;

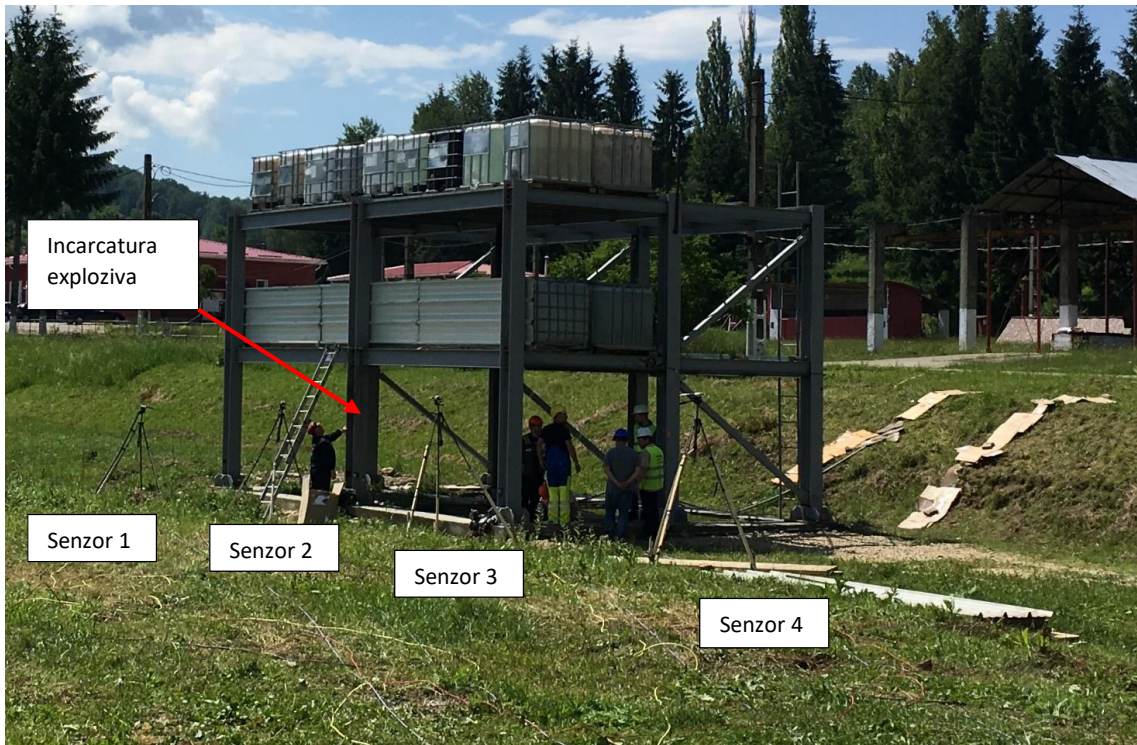


Fig. 3 Montarea accelerometrelor pe structura metalica

#### 1.2.4. *Masuratori cu statia totala*

Pe structura metalică au fost marcate un număr de 20 de repere de urmărire a deplasărilor, din care 14 repere pe fațada principală (R1-R14), iar 6 repere pe fațada laterală stânga (L1-L6). Schița de amplasare a reperelor este prezentată mai jos, vezi Fig. 4:

- Reperele R1 - R5 pe grinda de la etajul 2, fațada principală.
- Reperele R6 - R10 pe grinda de la etajul 1, fațada principală.
- Reperele R11 - R13 pe fundație, fațada principală.
- Reperele R14 pe inima stâlpului central, la nivelul încărcăturii explosive.
- Reperele L1 - L2 pe stâlpi la etajul 2, fațada laterală stânga.
- Reperele L3 - L4 pe stâlpi la etajul 1, fațada laterală stânga.
- Reperele L5 - L6 pe fundație, fațada laterală stânga.

Punctele S1 - S4 din planul de situație reprezintă poziția inițială a senzorilor de presiune, în etapele 2-4.

Măsurările au fost făcute cu stația totală Leica TCR 407 power, iar încadrarea în sistemul geodezic național "Proiecția Stereografică 1970" s-a realizat prin determinarea coordonatelor punctelor de stație cu ajutorul unui receptor GNSS cu dublă frecvență și corecții ROMPOS de tipul Stonex S9. Toate punctele de detaliu măsurate pe repere au fost transcalculate în sistemul geodezic național prin intermediul unei transformări Helmert (rototranslație).

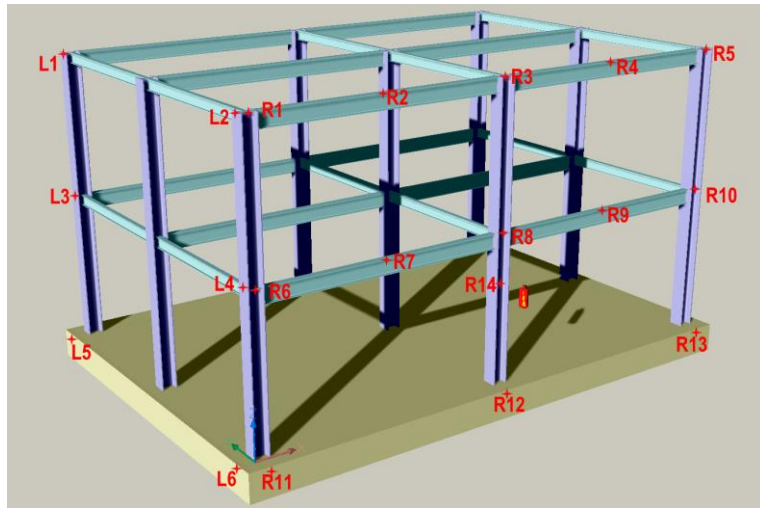


Fig. 4 Schema de amplasare a reperelor pentru masuratori cu statia totala

#### **1.2.5. Inregistrari video cu camere de mare viteza**

Pentru vizualizarea efectelor exploziei, au fost utilizate două camere de mare viteza care pot surprinde propagarea undelor de soc, interacțiunea cu terenul și cu structura adiacentă și sevența cedării elementelor (vezi Fig. 4).



Fig. 5 Amplasarea uneia dintre camerele de mare viteza

#### **1.3. Protocolul de incarcare**

Modelul experimental a fost încercat progresiv până la cedarea completă a unui stalp folosind încarcaturi cu diferite mase și poziții (fata de stalp, fata de sol).

Prima serie de teste (preliminare) a folosit următorii parametri de încercare:

- P1: 140 g încărcătură explozivă; distanța dintre încărcătura explozivă și stâlpul median -parter: 0,5 m; înălțimea față de sol a încărcături explose: 1,8 m (1,5 m față de fundație); structura metalică nu este încărcată cu sarcină
- P2: 280 g încărcătură explozivă; se mențin celelalte precizări de amplasare în teren a senzorilor ca în cazul experimentului P1, iar structura metalică nu este încărcată cu sarcină.

Pentru cea de-a două serie de teste, au fost introduse încarcări gravitaționale pe planse cu ajutorul unor rezervoare de apă de cate 1000 de l fiecare, încarcarea echivalentă adusa fiind de 10 kN/m<sup>2</sup>. S-au realizat 8 teste:

- E1: 280 g încărcătură explozivă; distanța dintre încărcătura explozivă și stâlpul median -parter: 0,5 m; înălțimea față de sol a încărcături explose: 1,8 m (1,5 m față de fundație); structura metalică este încărcată cu sarcină.
- E2: 560 g încărcătură explozivă; Se mențin celelalte precizări prezentate în cazul experimentului E1.
- E3: 1120 g încărcătură explozivă; Se mențin celelalte precizări prezentate în cazul experimentului E1.
- E4: 2240 g încărcătură explozivă; Se mențin celelalte precizări prezentate în cazul experimentului E1.

- E5: 2240 g încărcătură explozivă; Distanța dintre încărcătura explozivă și stâlpul median -parter: 0,2 m (suprafața de metal actionează parțial ca „reflector”, dată fiind apropierea încărcături și date fiind dimensiunile suprafetei expuse a stâlpului); Se mențin celelalte precizări prezentate în cazul experimentului E1.
- E6: 2520 g încărcătură explozivă; Distanța dintre încărcătura explozivă și stâlpul median -parter: 0,2 m;
- E7: 2520 g încărcătură explozivă; Distanța dintre încărcătura explozivă și stâlpul median -parter: 0,2 m;
- E8: 2520 g încărcătură explozivă; dintre încărcătura explozivă și stâlpul median -parter: 0,0 m.

## 2 Activitatea 2.2: Validarea si precalificarea in conditii de laborator a comportarii unei cladiri la scara reala supusa la explozii interne si externe (TRL4)

### 2.1 Rezultate experimentale

Primele serii de teste (masa încărcături explozive mai mica de 560 de g) nu au produs deformații plastice la nivelul stâlpului adjacente sau a grinzelor de planseu. În urma testului E3 însă, s-au produs deformații remanente la nivelul inimii stâlpului la nivelul incarcaturii explozive și de asemenea în talpile stâlpului, vezi Fig. 6.

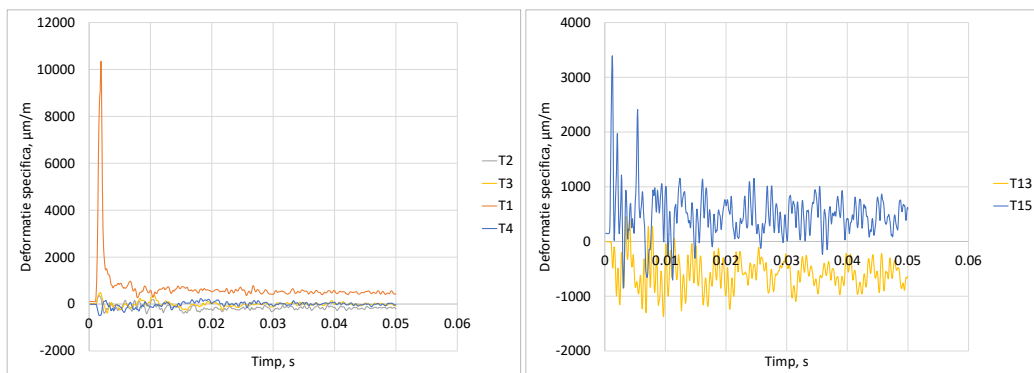


Fig. 6 Valorile deformațiilor specifice în stâlp în funcție de timp



Fig. 7 Vedere cu stâlpul central după testul E3

Fig. 8 prezintă deformațiile plastice respectiv ruperea produsă în stâlpul central în urma testelor E4, E5 și E6. De asemenea, se prezintă în Fig. 9 forma undei de soc aeriene-suprapresiunea în frontul de undă (sus) și detalierea rampei de creștere a presiunilor și evidențierea valorilor maxime pentru cei patru senzori (jos) pentru testul E6. Se poate observa o scadere drastica a valorii maxime a supra-presiunii între senzorii 1 și 2 (ax stâlp central și ax stâlp colt), în timp ce între senzorii 3 și 4 diferența este redusa.



Fig. 8 Vedere cu stalpul central după teste E4, E5 și E6

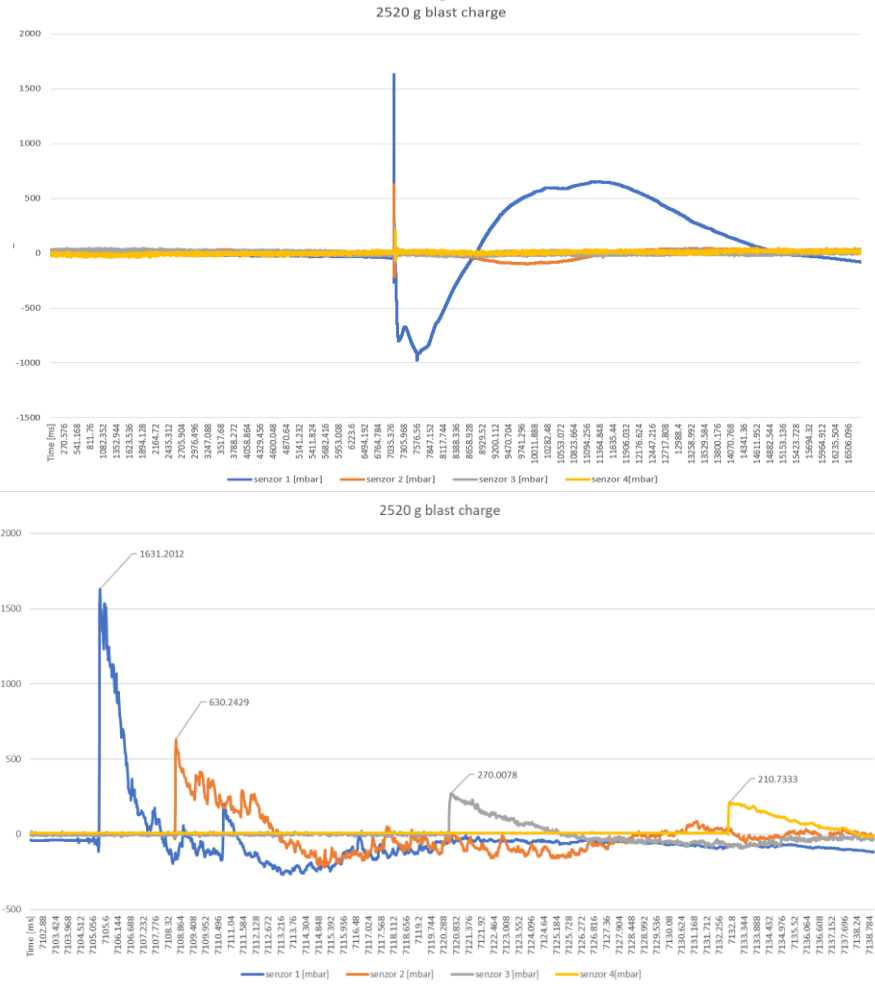


Fig. 9 Alura undei de şoc aeriene-suprapresiunea în frontul de undă (sus) și detalierea rampei de creștere a presiunilor și evidențierea valorilor maxime pentru cei patru senzori (jos), test E6

În urma testului E8 stalpul central a fost complet eliminat, vezi Fig. 8, grinzelile adiacente de la etajul 1 și 2 suferind deplasări permanente fata de situația initială cu stalpul în lucru.



Fig. 10 Vederi de ansamblu si detaliu cu stalpul central după testul E8

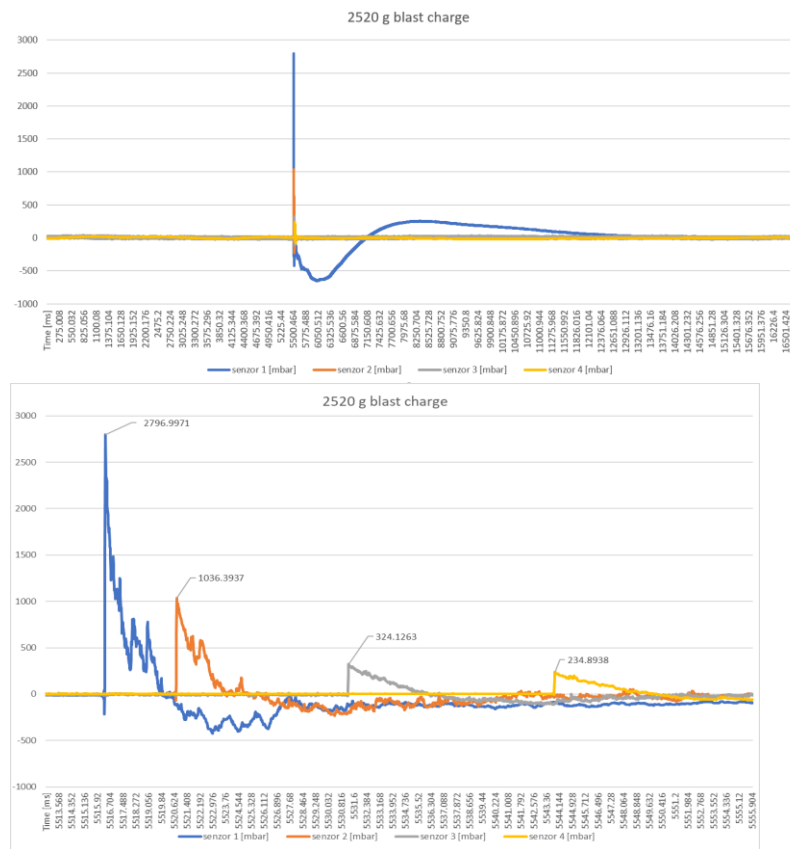


Fig. 11 Alura undei de şoc aeriene-suprapresiunea în frontul de undă (sus) și detalierea rampei de creștere a presiunilor și evidențierea valorilor maxime pentru cei patru senzori (jos), test E8

## 2.2 Validari numerice

Datele experimentale obtinute in urma testelor la explozie pe un model structural la scara reala au fost utilizate pentru validarea modelelor numerice construite in faza de studii preliminare si proiectare a modelului. Fig. 12.a prezinta o vedere de ansamblu cu modelul geometric care cuprinde reteaua de grinzi de fundare si suprastructura metalica. Fig. 12.b prezinta modelul global al structurii folosind programul de analiza Extreme Loading for Structures ELS.

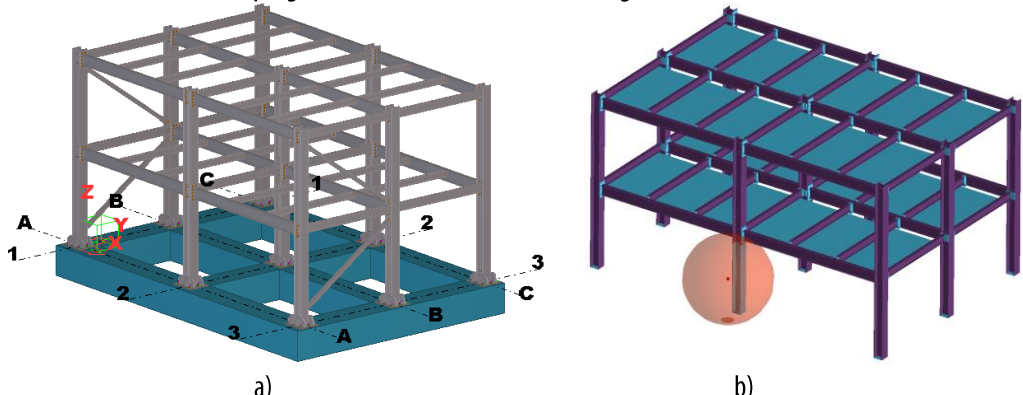


Fig. 12 Vedere de ansamblu cu modelul geometric (a) si cel numeric folosind programul ELS (b)

Pentru validarea răspunsului structurii, modelarea acțiunii din explozie s-a făcut pe baza curbelor de presiune obținute experimental (vezi Fig. 13). De asemenea, au fost folosite atât măsurători locale (deformații specifice) cat și globale (deplasări la nivelul elementelor și a nodurilor structurii).

Fig. 14 prezinta deplasările din grinda perimetrală de la etajul 1 pentru 5 teste (E3, E4, E5, E6 si E8) si situația inițială după dispunerea încărcărilor gravitaționale pe planșeu. Comparativ se prezinta și valorile deplasărilor obținute din analiza numerică după cedarea stalpului. Se poate observa ca atât forma deformată cat și valorile deplasărilor din analiza numerică sunt foarte apropiate de cele experimentale corespunzătoare pierderii stalpului în urma testului E8.

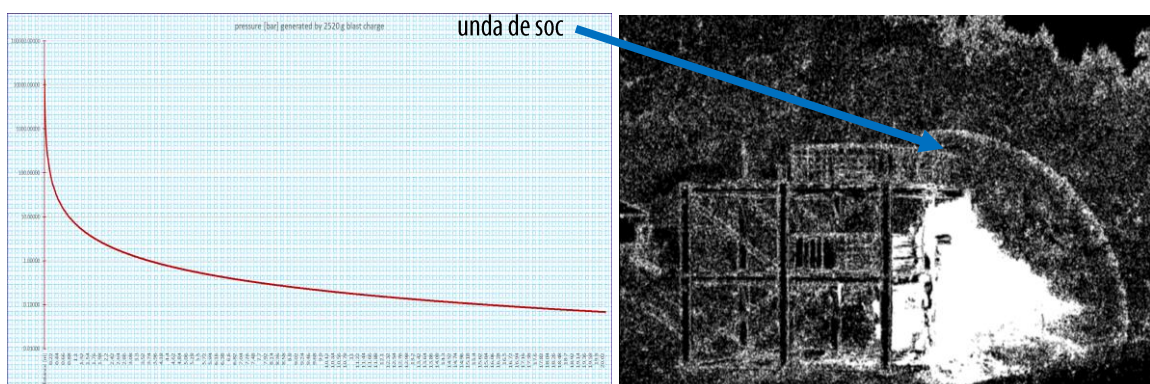


Fig. 13 Curba de presiune (stanga) si forma undei de soc (dreapta) pentru încărcătura exploziva de 2520 g

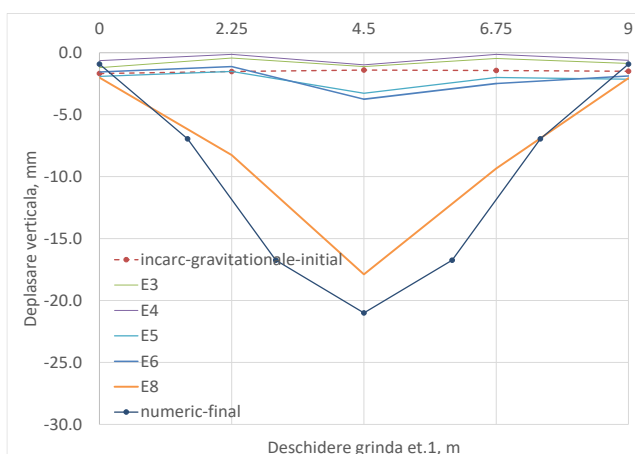


Fig. 14 Deplasări verticale in grinziile perimetrale de la etajul 1, experimental si numeric

Fig. 15.a prezinta pozitia punctelor de pe stalp in care s-au facut citiri cu timbrele T13 si T15 iar Fig. 15.b prezinta comparativ variatia in timp a deformatiilor specifice obtinute experimental si numeric. Se poate observa ca atat valorile instantanee cat si reziduale obtinute pe analiza numerica sunt foarte apropiate de cele reale (experimentale). Fig. 16 prezinta evolutia in timp a deformatiilor din stalpul central.

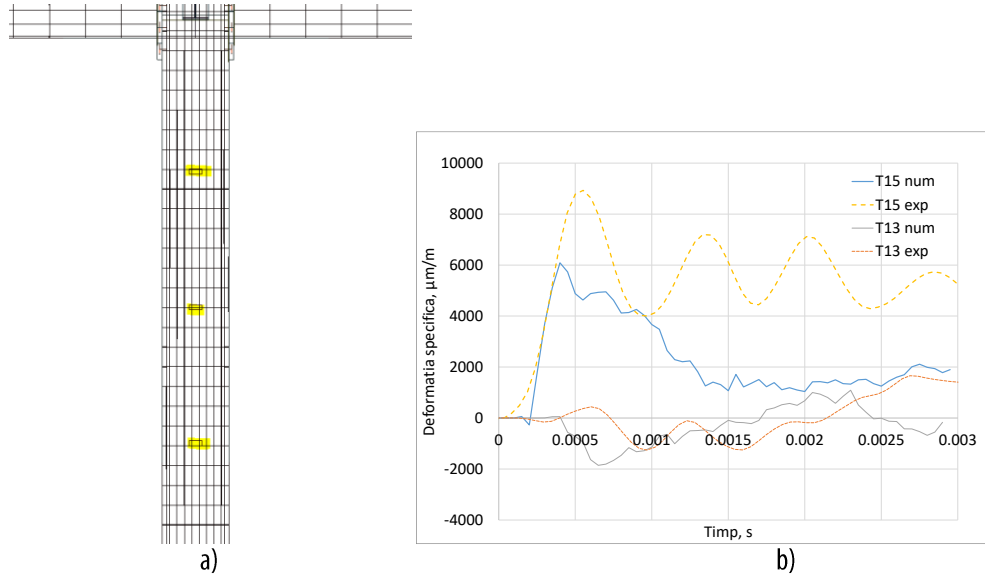


Fig. 15 Pozitia punctelor de pe stalpul central (in model) in care s-au facut citiri cu timbre tensometrice (a) si comparatia experimental-numeric (b)

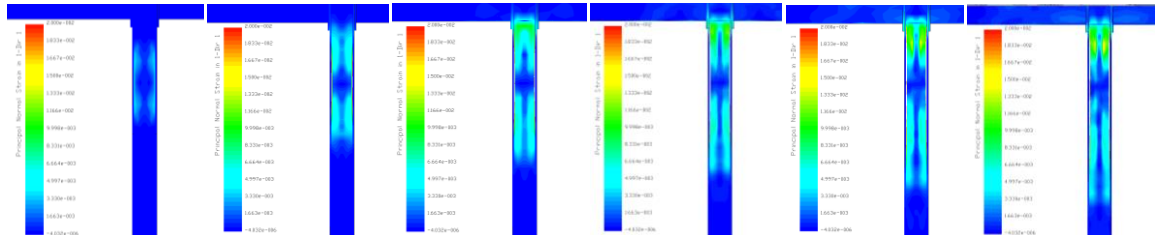


Fig. 16 Evolutia in timp deformatiilor specifice in stalp, 2520 g TNT la 500 de mm

Fig. 17 prezinta distributia presiunilor in zona adiacenta de pe stâlpul central pentru încărcatura exploziva de 2520 g TNT la 200 de mm. Fig. 18 prezinta comparativ evolutia in timp a initierii si propagarii ruperii in stâlpul central (a) si vedere cu stâlpul dupa testare, 2520 g TNT la 200 de mm. Se poate observa ca analiza numerica pe modelul calibrat conduce la rezultate foarte bune si poate oferi detalii suplimentare privind modelul de cedare si capacitatea reziduala a elementelor respectiv a structurii.

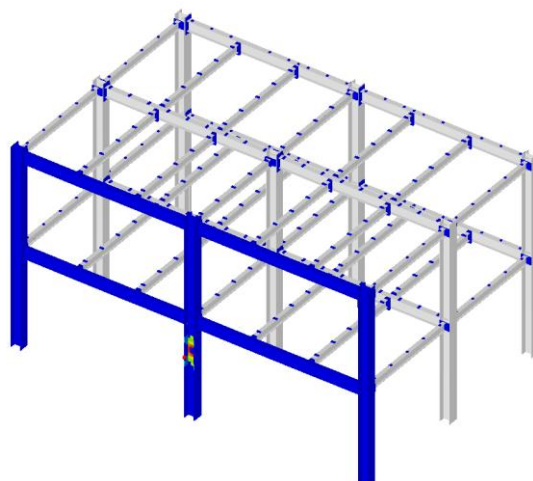


Fig. 17 Distribuția presiunilor in zona adiacenta de pe stâlpul central pentru încărcatura exploziva de 2520 g TNT la 200 de mm

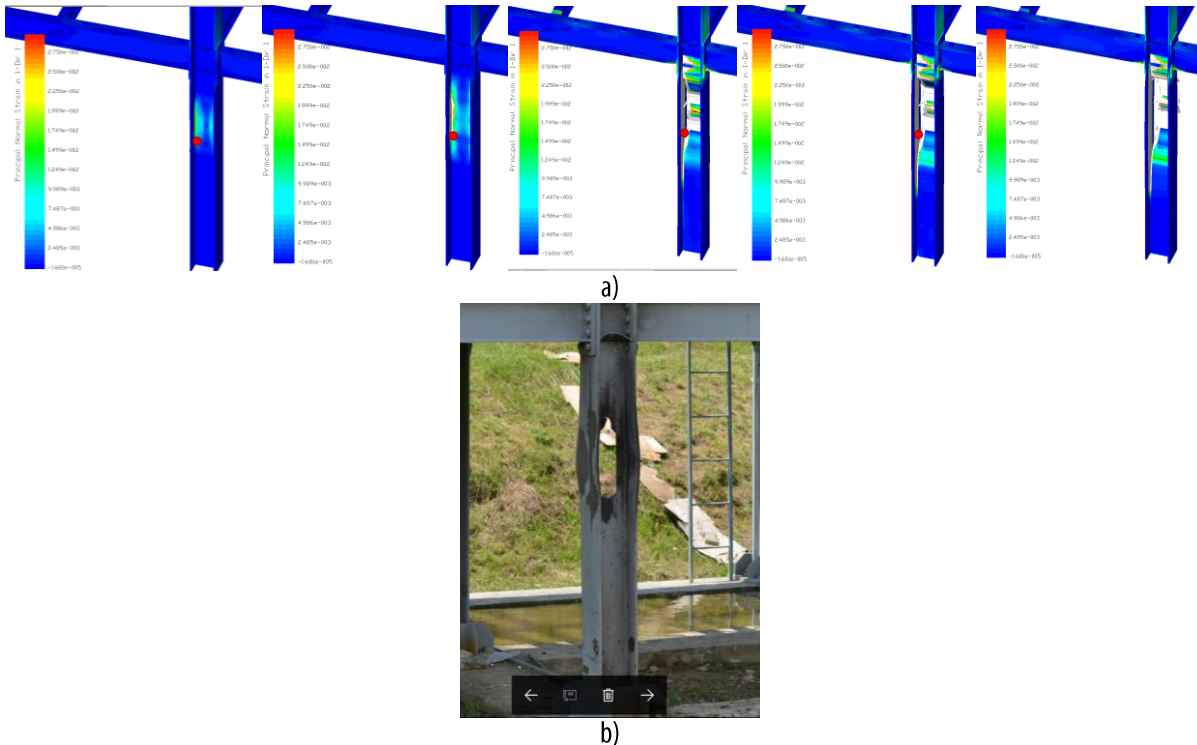


Fig. 18 Evolutia in timp a initierii si propagarii ruperii in stalpul central (a) si vedere cu stalpul dupa testare, 2520 g TNT la 200 de mm

### 3 Activitatea 2.3: Identificarea modificărilor structurale si descrierea avariilor structurale/nestructurale cauzate de explozii interne si externe

Pentru caracterizarea experimentală a avariilor structurale, au fost făcute măsurători dinamice pentru a estima parametrii modali înainte și după producerea unei explozii. Parametrii modali inițiali au fost folosiți și pentru calibrarea modelului numeric al structurii. Folosirea tehnicii de identificare dinamica permite evaluarea avariilor structurale prin evaluarea modificărilor frecvențelor și a modurilor proprii de vibrație. Pentru măsurători a fost utilizată tehnica experimentală Brüel & Kjaer, folosind ca sursă de excitare un ciocan cu senzor de forță de tip 8208 (forță maxima 35584 N). Pentru masurarea raspunsului structurii au fost utilizati 12 senzori de acceleratie plasati in diverse puncte pe structura, vezi Fig. 20. Fig. 20 prezinta rezultatele analizei modale (criteriul de asigurare modală MAC) si Fig. 21 prezinta modurile proprii de vibratii ale structurii.

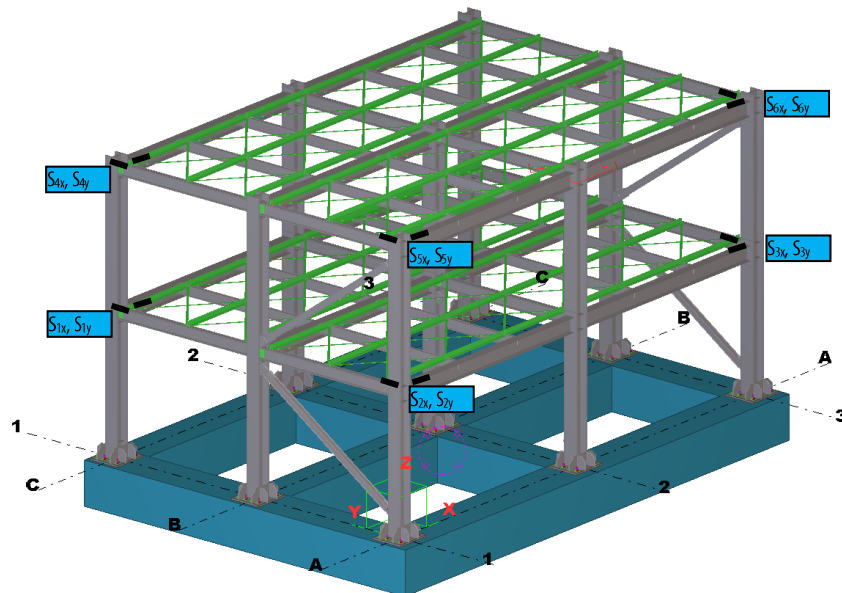


Fig. 19 Vedere de ansamblu cu pozitionarea senzorilor de acceleratie

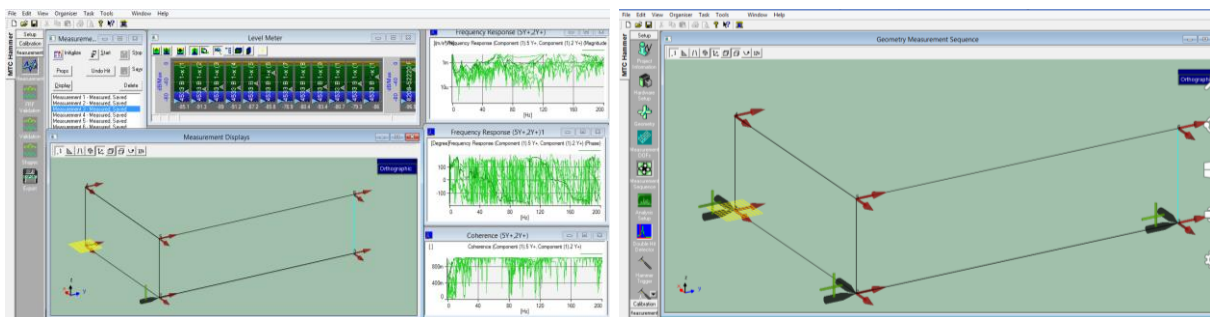


Fig. 20 Schema de amplasare a senzorilor de acceleratie si punctele de aplicare a excitatiei cu ajutorul ciocanului cu senzor de forta

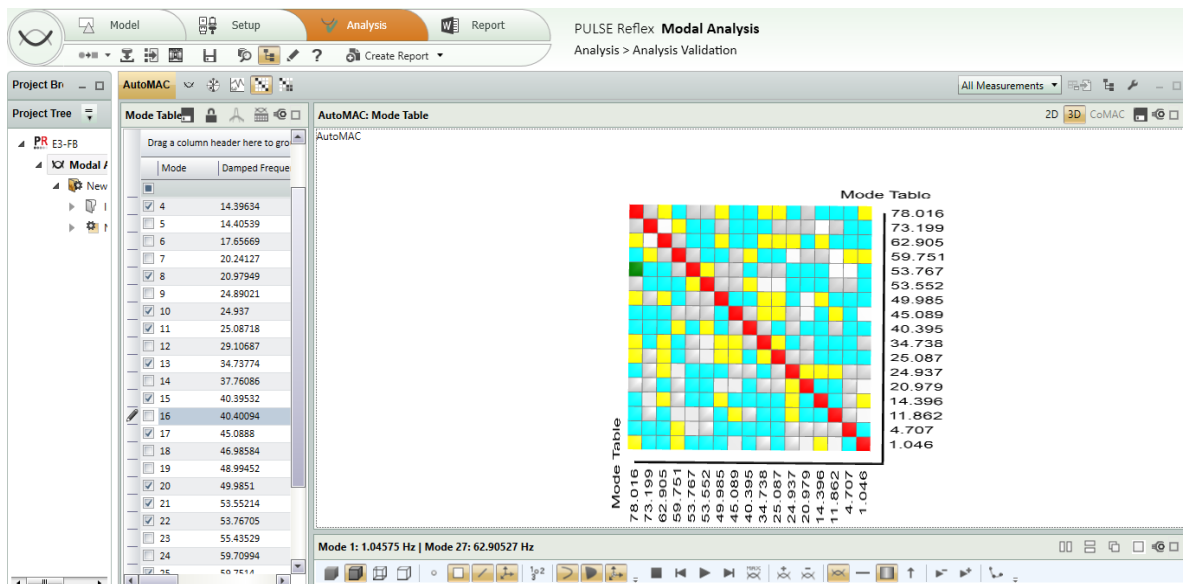


Fig. 21 Rezultatele analizei modale – criteriu de asigurare modală (MAC)

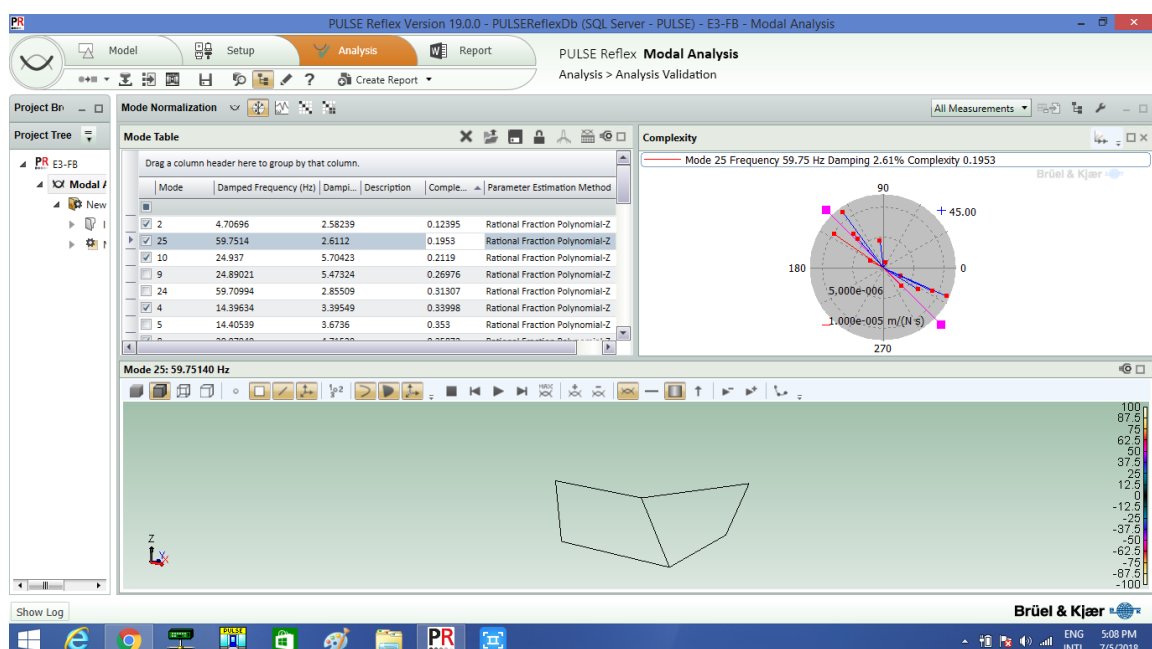


Fig. 22 Rezultatele analizei modale - moduri proprii de vibratii

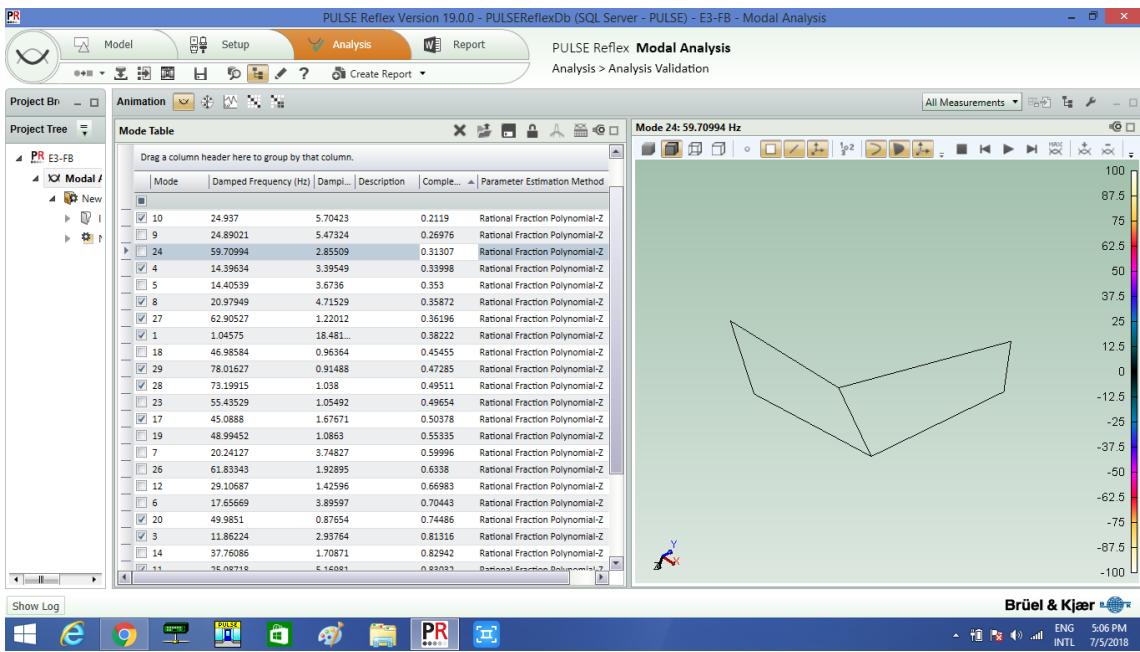


Fig. 23 Rezultatele analizei modale - moduri proprii de vibratii

#### 4 Activitatea 2.4: Diseminarea rezultatelor cercetărilor

Activitatea 2.4 a cuprins activitati de management, coordonare si diseminare la nivelul proiectului. Planificarea si coordonarea activitatilor au tinut cont de contributiile specifice ale partenerilor si de cele generale ale proiectului. Au avut loc mai multe intalniri de lucru care au fost desfasurate atat la poligonul de incarceri de la Insemex cat si la UPT. Au fost utilizate de asemenea platforme media pentru videoconferinte si transferul de informatii intre parteneri.

Promovarea proiectului FRAMEBLAST si diseminarea rezultatelor cercetărilor au fost permanent avute in vedere. Astfel, au fost pregatite si publicate lucrari stiintifice la conferinte si in reviste, au fost facute prezentari orale in cadrul unor manifestari stiintifice si au fost prezentate rapoarte tehnice in cadrul unor comitete tehnice ale asociațiilor profesionale. Rezultatele au fost de asemenea folosite la lansarea unor proiecte de cercetare nationale si internationale si ca suport pentru lucrari de dizertatie si doctorat. A fost organizat de asemenea un Workshop in care au fost prezentate rezultatele analizelor numerice, instrumentarea structurii pentru testarea in situ si teste la explozii externe. La acest Workshop au participat specialisti de la sase universități si institute de cercetare din tara si anume: Universitatea Politehnica Timișoara, INSEMEX Petroșani, Universitatea Tehnică Cluj-Napoca, Universitatea Petroșani, INCERC Cluj-Napoca, Academia Romana (Filiala Timișoara). A fost de asemenea actualizata pagina web a proiectului ([www.ct.upt.ro/centre/cemsig/frameblast.htm](http://www.ct.upt.ro/centre/cemsig/frameblast.htm)).

Mai jos se prezinta modul de valorificare a rezultatelor obtinute in proiect.

##### Lucrări publicate și prezentate oral în cadrul unor conferințe internaționale

1. Dinu F, Marginean I, Dubina D, Khalil A, De Iuliis E., Factors affecting the response of steel columns to close-in detonations, 12th International Conference on Advances in Steel-Concrete Composite Structures (ASCCS 2018):873-880, Valencia
2. Marginean I, Dinu F, Kulcsár R, Sabău S, Dubina D. Ultimate capacity of steel frames with bolted connections under column loss scenarios, IRF2018, Portugal
3. INFLUENCE OF 4 BOLTS-PER-ROW CONNECTION ON A STEEL FRAME BUILDING SUBJECTED TO COLUMN LOSS. Daniel Nunes, I. Marginean, Adrian Ciutina, Florea Dinu
4. DEVELOPMENT OF ALTERNATE LOAD PATHS IN STEEL FRAMES WITH COMPOSITE BEAMS SUBJECT TO ACCIDENTAL EXPLOSIONS. Florea Dinu, Ioan Marginean, Ioan Petran, Mihai Senila, Calin Neagu, Dan Dubina.
5. Ioan Both, Ioan Marginean, Florea Dinu, Calin Neagu, Raul Zaharia BEHAVIOUR OF BOLTED CONNECTIONS COMPONENT UNDER ELEVATED TEMPERATURES

##### Lucrări publicate în reviste de specialitate indexate WOS

1. Marginean I, Dinu F, Dubina D. Simulation of the dynamic response of steel moment frames following sudden column

loss. Experimental calibration of the numerical model and application. Steel Construction. 2018;11:57-64.

#### Lucrari publicate în reviste de specialitate indexate

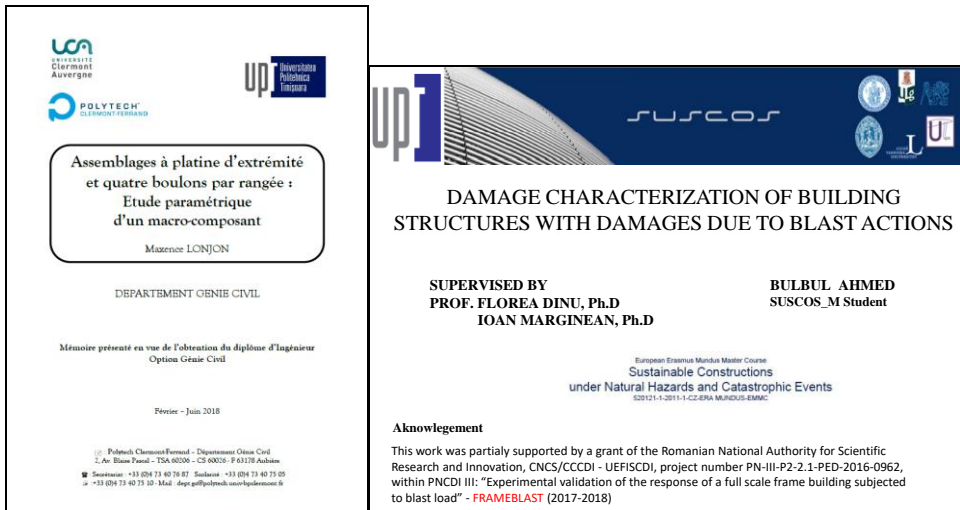
1. Dubina D, Dinu F, Marginean I. Multi-hazard risk mitigation through application of seismic design rules. Key Engineering Materials, 2018; 763: 1139-1146

#### Disertatii de master elaborate cu sustinere din cadrul proiectului

1. Erasmus Mundus Master Course - 520121-1-2011-1-CZ-ERA MUNDUS-EMMC Sustainable Constructions under natural hazards and catastrophic events - Bulbul AHMED, DAMAGE CHARACTERIZATION IN BUILDING STRUCTURES DUE TO BLAST ACTIONS, coordinator Dinu Florea
2. Erasmus Maxence LONJON: Assemblages à platine d'extrême et quatre boulons par rangée : Etude paramétrique d'un macro-composant

The grid displays five conference posters from 2018:

- STESSA '18**: Multi-hazard risk mitigation through application of seismic design rules. Organized by University of Canterbury, Universitat de les Illes Balears, and SCNZ. Features logos for UoC, UIB, and SCNZ. Includes a photo of a modern building and text about multi-hazard risk mitigation.
- SCCS Valencia 2018**: Factors affecting the response of steel columns to close-in detonations. Organized by Universitat Politècnica de València. Features the SCCS Valencia logo and text about factors affecting steel column response.
- The 10<sup>th</sup> International Conference on Structures in Fire (SIF 2018)**: Organized by Politehnica University Timisoara, Romanian Academy, and UP ASI. Features logos for Romanian Academy, UP, and ASI. Includes text about the conference and logos for Politehnica University Timisoara and Romanian Academy.
- BEHAVIOUR OF BOLTED CONNECTIONS COMPONENT UNDER ELEVATED TEMPERATURES**: Organized by Ioan Both, Florea Dinu, Ioan Marginean, Calin Neagu, Raul Zaharia. Features the UP logo and a photograph of a structural test rig.
- ICTWS 2018**: MITIGATION OF PROGRESSIVE COLLAPSE OF SELECTED RACK SYSTEMS PRONE TO LOCALISED IMPACT FAILURES. Organized by Ioan Marginean<sup>1</sup>, Florea Dinu<sup>(\*)</sup>, Dan Dubina<sup>1</sup>. Features the ICTWS 2018 logo and a photograph of a bridge at sunset.
- IRF2018**: INTEGRITY-RELIABILITY-FAILURE. Organized by University of Lisbon. Features the IRF2018 logo and a photograph of a city skyline at night.



## Bibliografie

- Alashker, Y.; El-Tawil, S.; Sadek, F. Progressive collapse resistance of steel-concrete composite floors. *Journal of Structural Engineering*. 2010;136(10):1187-1196.
- ASCE. Seismic evaluation and retrofit of existing buildings. Vol. ASCE/SEI 41-13; 2013.
- Astaneh-Asl, A.; Madsen, E.A.; Noble, C.; Jung, R.; McCallen, D.B.; Hoehler, M.S.; Li, W.; Hwa, R. Use of catenary cables to prevent progressive collapse of buildings. Report No: UCB/CEE-STEEL-2001/02. 2001.
- CEN. Eurocode 1: Actions on structures - Part 1-7: Accidental actions Vol. EN 1991-1-7. Brussels: European Committee for Standardisation; 2006.
- Dinu, F.; Marginean, I.; Sigauan, A.; Kovacs, A.; Ghicioi, E.; Vasilescu, D. Effects of close range blasts on steel frames. Experimental testing and numerical validation. The Int. Colloq. on Stability and Ductility of Steel Structures SDSS, 2016. p. 699-708.
- Dinu, F.; Marginean, I.; Dubina, D. Experimental testing and numerical modelling of steel moment-frame connections under column loss. *Engineering Structures*. 2017 11/15;/151:861-878.
- DoD. Unified facilities criteria: design of buildings to resist progressive collapse. Vol. UFC 4-023-03-with Change 1. Washington (DC), US: Department of Defense; 2016.
- ELS. Extreme loading for structures. Durham, NC: Applied Science International; 2017.
- Krishnappa, N.; Bruneau, M.; Warn, G.P. Weak-axis behavior of wide flange columns subjected to blast. *Journal of Structural Engineering*. 2013;140(5):04013108.
- Mazurkiewicz, L.; Malachowski, J.; Baranowski, P. Blast loading influence on load carrying capacity of I-column. *Engineering Structures*. 2015;104:107-115.
- Nassr, A.A.; Razaqpur, A.G.; Tait, M.J.; Campidelli, M.; Foo, S. Dynamic response of steel columns subjected to blast loading. *Journal of Structural Engineering*. 2014;140(7):04014036.
- Sadek, F.; El-Tawil, S.; Lew, H. Robustness of composite floor systems with shear connections: Modeling, simulation, and evaluation. *Journal of Structural Engineering*. 2008;134(11):1717-1725.
- Yang, B.; Tan, K. Different types of steel joints under catenary action—Part 1: Experimental tests. 6th European Conference on Steel and Composite Structures, EUROSTEEL, Budapest, Hungary; 2011. p. 291-296.